2 b 4 п ь 8 8 % b г д о к л а д ы

XIX, № 3 1954

Խմբագրական կոլեզիա

4. Ս. ԴԱՎԹՑԱՆ, ՀՍՍՌ ԳԱ իսկական անդաս, Ա. Լ. ԹԱԽՏԱՋՑԱՆ. ՀՍՍՌ ԳԱ իզական անդամ (պատ. ամբազիւ), Վ. Հ. ՂԱՋԱՐՑԱՆ, Ա. Ն. ՄՆԱ-ՑԱԿԱՆՑԱՆ, Ա. Լ. ՄՆՋՈՑԱՆ, ՀՍՍՌ ԳԱ թղթակից անդամ անդամ, Մ. Մ. ՀՐԲԱՇՑԱՆ, ՀՍՍՌ ԳԱ թղթակից անդամ, Մ. Մ. ՀՐԲԱՇՑԱՆ, ՀՍՍՌ ԳԱ թղթակից անդամ, Մ. Մ. ՀՐԲԱՇՑԱՆ, ՀՍՍՌ ԳԱ թղթակից անդամ (պատ. խմբագբի տեղակալ)։

Редакционная коллегия

В. А. АМБАРЦУМЯН, действ. чл. АН Арм. ССР (отв. редактор), Г. С. ДАВТЯН, действ. чл. АН Арм. ССР, М. М. ДЖРБАШЯН, чл.-корресп. АН Арм. ССР (зам. отв. редактора), В. О. КАЗАРЯН, А. Н. МНАЦАКАНЯН, А. Л. МНДЖОЯН, действ. чл. АН Арм. ССР, А. Г. НАЗАРОВ, чл.-корресп. АН Арм. ССР, А. Л. ТАХТАДЖЯН, чл.-корресп. АН Арм. ССР.

ዞበዺԱՆ ԴԱԿበԻԹՅՈՒՆ

	62
Մաթեմատիկա	
Մ. Մ. Ջոբասյան, Հայկական ՍՍՌ ԳԱ ԹղԹակից-անդամ—Միտտագ-Լեֆլերի ֆունկցիայի ասիմպտոտական վարքի մասին	65
ՄատրոՖիզիկա	
Հ. Ս. Բադալյան – Գալակտիկական ցեֆեիդների միջոցով լույսի ընտրական կլանման որոշելը Վահան համաստեղության տիրույթում	73
ԲիոՖիզիկա	
Բ. Ն. Մելիք-Մուսյան և Հ. Գ. Դեմիբչօղլյան —Ամբլիոպիայի և ամավրոզի ժամանակ էլեկտրառետիծոգրաֆիկ վյուփոխությունների մասին	79
Օրգանական թիմիա	
Ա. Թ. Բաբայան, Գ. Մ. Մկrյան և Ն. Գ. Վաrդանյան—1-դիալկիլաժինորու- աին-2-ների իզոժերիզացիան	83
Դեղագործական քիմիա	
Ա. Լ. Մնջոյան, Հայկական ՍՍՌ ԳԱ իսկական անդամ, Վ. Գ. Աֆբիկյան և Ա. Հ. Դոխիկյան—Հետազոտություն թ-այկօքսիթենզոական թթուների ածանցյալների	
աին թեզի բնադավառում։ Հարրդում VII	85
Ն. Ա. Բաբիյան—Հետաղոտություն երկնիմ թանի կարբոնաթթուների ածանցյալների բնագավառում։ Հաղորդում VI	93

FINANCIAL CONTRACTOR PROPERTY OF THE PROPERTY

СОДЕРЖАНИЕ

	Crp.
Математика	
М. М. Джрбашян, члкорресп. АН Армянской ССР—Об асимптотиче- ском поведении функции типа Миттаг-Лефлера	65
Астрофизика	
Г. С. Бадалян—Определение избирательного поглощения света в области Щита посредством галактических цефеид	73
Биофизика	
Б. Н. Мелик-Мусьян и Г. Г. Демирчоглян—К вопросу об электроретинографии при амблиопии и амаврозе	79
Органическая химия	
А. Т. Бабаян, Г. М. Мкрян и Н. Г. Вартанян—Изомеризация 1-диал- киламинобутинов-2	83
Фармацевтическая химия	
А. Л. Миджоян, действ. чл. АН Армянской ССР, В. Г. Африкян и А. А. Дохикян—Исследование в области синтеза производных п-алкоксибензойных кислот. Сообщение VII	85
А. Л. Миджоян, действ. чл. АН Армянской ССР, О. Л. Миджоян и Н. А. Бабиян - Исследования в области производных двухосновных карбоновых кис-	
лот Сообщение VI.	93

MATEMATUKA

М. М. Джрбашян, чл.-корресп. АН Армянской ССР

Об асимптотическом поведении функции типа Миттаг-Лефлера

(Представлено 23 IX 1954)

Рассмотрим целую функцию типа Миттаг-Лефлера.

$$E_{\rho}(z; \mu) = \sum_{n=0}^{\infty} \frac{z^n}{\Gamma(\mu + n\rho^{-1})} (\rho > 0, -\infty < \mu < +\infty), \tag{1}$$

Очевидно, что при фиксированном ho > 0 функция $E_{
ho}(z; \mu)$, при любом конечном значении параметра μ , имеет порядок ho и тип 1.

Функция $E_{
ho}(z;\mu)$ при $ho\gg\frac{1}{2}$, $\mu>0$ играет важную роль при построении теории обобщенных интегральных преобразований в ком-

плексной области (1,2). При этом существенны некоторые асимптотические свойства функции $E_{\rho}(z; \mu)$ (1,3).

Пусть число в определяется из условий

$$\frac{\pi}{2\rho} < \beta < \pi$$
, при $\frac{1}{2} < \rho \le 1$, (2) $\frac{\pi}{2\rho} < \beta < \frac{\pi}{\rho}$, при $\rho > 1$,

а) при $\rho > \frac{1}{2}$, $|\arg z| \leq \beta$, когда $|z| \to \infty$,

$$E_{\rho}(z; \mu) = \rho z^{\rho(1-\mu)} e^{z^{\rho}} + O\left(\frac{1}{z}\right); \tag{3}$$

6) при $\rho > \frac{1}{2}$, |arg $z \mid > \beta$, когда $|z| \to \infty$,

$$E_{\rho}(z; \mu) = O\left(\frac{1}{z}\right); \tag{4}$$

в) при $\rho = \frac{1}{2}$, $|\arg z| < \pi$, когда $|z| \to \infty$,

$$E_{\frac{1}{2}}(z; \mu) \sim \frac{1}{2} z^{\frac{1}{2}(1-\mu)} e^{z^{\frac{1}{2}}}.$$
 (5)

Таким образом, как о поведении функции $E_1(z; \mu)$ в замкнутой плоскости z, так и о порядке дополнительного члена при $|z| \to \infty$ формула (5) ничего не дает.

Но, как не трудно видеть, при частных значениях параметра μ , именно при $\mu=1$ и $\mu=2$. функция $E_{\mu}(z;\mu)$ выражается через элементарные функции

$$E_{\frac{1}{2}}(z; 1) = \cosh \sqrt{z}, E_{\frac{1}{2}}(z; 2) = \frac{\sinh \sqrt{z}}{\sqrt{z}}.$$
 (6)

В настоящей заметке устанавливается асимптотическая формула для функции $E_1(z; \mu)$ при $\mu > 0$, годная во всей плоскости z, причем указывается также порядок дополнительного члена.

Теорема. Если и>0. то будем иметь:

a) $npu 0 \le \arg z \le \pi$, $\kappa orda |z| \to \infty$,

$$E_{\frac{1}{2}}(z; \mu) = \frac{1}{2} z^{\frac{1}{2}(1-\mu)} \left\{ e^{z^{\frac{1}{2}}} + e^{-i\pi(1-\mu)} e^{-z^{\frac{1}{2}}} \right\} + O\left(\frac{1}{z}\right); \tag{7}$$

6) $npu - \pi \leq \arg z \leq 0$, $\kappa orda | z | \to \infty$.

$$E_{\frac{1}{2}}(z; \mu) = \frac{1}{2} z^{\frac{1}{2}(1-\mu)} \left\{ e^{z^{\frac{1}{2}}} + e^{+i\pi(1-\mu)} e^{-z^{\frac{1}{2}}} \right\} + O\left(\frac{1}{z}\right); \tag{7'}$$

B) $npu x \rightarrow +\infty$,

$$E_1(-x; \mu) = x^{\frac{1}{2}(1-\mu)}\cos[1 x + \frac{\pi}{2}(1-\mu)] + O\left(\frac{1}{x}\right). \tag{7"}$$

Доказательство. Заметим. что утверждение в) теоремы просто следует из (7) или (7'), когда в них соответственно положить $z=xe^{i\pi}$ и $z=xe^{-i\pi}$ (x>0).

Для любых $\varepsilon > 0$ и $0 < \alpha \le \pi$ обозначим через $\gamma(\varepsilon, \alpha)$ кривую, состоящую из лучей $\arg z = \pm \alpha$. $|z| > \varepsilon$ и из дуги $|\arg z| \le \alpha$ окружности $|z| = \varepsilon$, пробегаемую так, что полуось $\arg z = \pm \pi$ остается слева от $\gamma(\varepsilon, \alpha)$.

При любом $\varepsilon > 0$ и $\frac{\pi}{2} < \varkappa \leqslant \pi$ во всей комплексной плоскости

s имеет место интегральное представление (1)

$$\frac{1}{\Gamma(s)} = \frac{1}{2\pi i} \int_{\gamma(s, a)} e^{it} u^{-s} du. \tag{8}$$

Легко видеть, что при s>0 представление (8) остается справедливым и при $\alpha=\frac{\pi}{2}$, поэтому имеем:

$$\frac{1}{\Gamma(s)} = \frac{1}{2\pi i} \int e^{it} u^{-s} du. \tag{9}$$

$$\gamma\left(\varepsilon, \frac{\pi}{2}\right)$$

После замены переменной $t=u^2$ в силу произвольности $\epsilon>0$ представление (9) примет вид:

$$\frac{1}{\Gamma(s)} = \frac{1}{4\pi i} \int e^{t^{\frac{1}{2}}} t^{-\frac{s+1}{2}} dt, \quad (s > 0; \quad \varepsilon > 0). \tag{10}$$

Из (1) и (10) при $|z| < \epsilon$ получим:

$$E_{\frac{1}{2}}(z; \mu) = \frac{1}{4\pi i} \int \frac{e^{t^{\frac{1}{2}}} t^{\frac{1}{2}(1-\mu)}}{t-z} dt.$$

$$\gamma(\varepsilon, \pi)$$
(11)

Заметив, что при $1<|z|<\varepsilon$, $|arg z|<\pi$,

$$\frac{1}{2\pi i} \int \frac{e^{t^{\frac{1}{2}}t^{\frac{1}{2}}(1-\mu)}}{t-z} dt = z^{\frac{1}{2}(1-\mu)}e^{z^{\frac{1}{2}}},$$

$$\gamma(\varepsilon, \pi) - \gamma(1, \pi)$$
(12)

из (11) в силу произвольности є > 0 получим представление

$$E_{\frac{1}{2}}(z, \mu) = \frac{1}{2} z^{\frac{1}{2}(1-\mu)} e^{z^{\frac{1}{2}}} + \frac{1}{4\pi i} \int \frac{e^{t^{\frac{1}{2}}t^{\frac{1}{2}(1-\mu)}}}{t-z} dt.$$
 (13)

справедливое при $\mu > 0$, |z| > 1, $|\arg z| < \pi$.

Заметим, что контур $\gamma(1,\pi)$ состоит из луча $\gamma^{(-)}(\arg t = -\pi, t \le -1)$, окружности K(|t|=1) и луча $\gamma^{(+)}(\arg t = \pi, t \le -1)$, которые последовательно пробегаются так, что область |t| > 1, $|\arg t| < \pi$ остается слева.

Докажем теперь, что при $\mu > 0$, |z| > 1, $|\arg z| < \pi$ имеет место тождество

$$0 = z^{\frac{1}{2}(1-\mu)}e^{-z^{\frac{1}{2}}} + \frac{1}{2\pi i} \int \frac{e^{-t^{\frac{1}{2}}t^{\frac{1}{2}(1-\mu)}}}{t-z} dt.$$
 (14)

Обозначим через $\gamma_R(1,\pi)$ (R>1) часть контура $\gamma(1,\pi)$, лежащую в круге $|t| \leq R$. По теореме Коши

$$\frac{1}{2\pi i} \int_{\gamma_{R}(1, \pi)}^{\frac{1}{2\pi i}} \frac{e^{-t^{\frac{1}{2}}t^{\frac{1}{2}(1-\mu)}}}{t-z} dt + \frac{1}{2\pi i} \int_{|t|=R}^{\frac{1}{2\pi i}} \frac{e^{-t^{\frac{1}{2}}t^{\frac{1}{2}(1-\mu)}}}{t-z} dt = -z^{\frac{1}{2}(1-\mu)}e^{-z^{\frac{1}{2}}}, \quad (15)$$

при $|\arg z| < \pi$, 1 < |z| < R.

Для установления тождества (14) очевидно достаточно показать, что при $R \to \infty$, второй интеграл слева в (15) стремится к нулю.

Это действительно так в силу следующей оценки

$$\left| \int \frac{e^{-t^{\frac{1}{2}} \frac{1}{2} (1-\mu)}}{t-z} dt \right| \leq \frac{R}{R-|z|} R^{\frac{1}{2} (1-\mu)} \int_{-\pi}^{\pi} e^{-R^{\frac{1}{2}} \cos \frac{\varphi}{2}} d\varphi =$$

$$= \frac{2R}{R - |z|} R^{\frac{1}{2}(1 - \mu)} \int_{0}^{\pi} e^{-R^{\frac{1}{2}}\cos\frac{\varphi}{2}} d\varphi = \frac{2R}{R - |z|} R^{\frac{1}{2}(1 - \mu)} \int_{0}^{\pi} e^{-R^{\frac{1}{2}}\sin\frac{\varphi}{2}} d\varphi < \frac{2R}{R - |z|} R^{\frac{1}{2}(1 - \mu)} \int_{0}^{\pi} e^{-R^{\frac{1}{2}}\sin\frac{\varphi}{2}} d\varphi < \frac{2R}{R - |z|} R^{\frac{1}{2}(1 - \mu)} \int_{0}^{\pi} e^{-R^{\frac{1}{2}}\sin\frac{\varphi}{2}} d\varphi < \frac{2R}{R - |z|} R^{\frac{1}{2}(1 - \mu)} \int_{0}^{\pi} e^{-R^{\frac{1}{2}}\sin\frac{\varphi}{2}} d\varphi < \frac{2R}{R - |z|} R^{\frac{1}{2}(1 - \mu)} \int_{0}^{\pi} e^{-R^{\frac{1}{2}}\sin\frac{\varphi}{2}} d\varphi < \frac{2R}{R - |z|} R^{\frac{1}{2}(1 - \mu)} \int_{0}^{\pi} e^{-R^{\frac{1}{2}}\sin\frac{\varphi}{2}} d\varphi < \frac{2R}{R - |z|} R^{\frac{1}{2}(1 - \mu)} \int_{0}^{\pi} e^{-R^{\frac{1}{2}}\sin\frac{\varphi}{2}} d\varphi < \frac{2R}{R - |z|} R^{\frac{1}{2}(1 - \mu)} \int_{0}^{\pi} e^{-R^{\frac{1}{2}}\sin\frac{\varphi}{2}} d\varphi < \frac{2R}{R - |z|} R^{\frac{1}{2}(1 - \mu)} \int_{0}^{\pi} e^{-R^{\frac{1}{2}}\sin\frac{\varphi}{2}} d\varphi < \frac{2R}{R - |z|} R^{\frac{1}{2}(1 - \mu)} \int_{0}^{\pi} e^{-R^{\frac{1}{2}}\sin\frac{\varphi}{2}} d\varphi < \frac{2R}{R - |z|} R^{\frac{1}{2}(1 - \mu)} \int_{0}^{\pi} e^{-R^{\frac{1}{2}}\sin\frac{\varphi}{2}} d\varphi < \frac{2R}{R - |z|} R^{\frac{1}{2}(1 - \mu)} \int_{0}^{\pi} e^{-R^{\frac{1}{2}}\sin\frac{\varphi}{2}} d\varphi < \frac{2R}{R - |z|} R^{\frac{1}{2}(1 - \mu)} R^{\frac{1}{2}(1 - \mu)} \int_{0}^{\pi} e^{-R^{\frac{1}{2}}\sin\frac{\varphi}{2}} d\varphi < \frac{2R}{R - |z|} R^{\frac{1}{2}(1 - \mu)} R^{$$

$$<\frac{2R}{R-|z|}R^{\frac{1}{2}(1-\mu)}\int_{0}^{\pi}e^{-\frac{1}{\pi}R^{\frac{1}{2}}\varphi}d\varphi<\frac{2\pi R}{R-|z|}R^{-\frac{\mu}{2}},\ (\mu>0).$$

Умножим обе части тождества (14) на $\frac{1}{2} e^{\pm i\pi(1-\mu)}$ и сложим

с формулой (13), тогда получим представления

$$E_{\frac{1}{2}}(z; \mu) = \frac{1}{2} z^{\frac{1}{2}(1-\mu)} \left\{ e^{z_{\frac{1}{2}}} + e^{\pm i\pi(1-\mu)} e^{-z_{\frac{1}{2}}} \right\} + \frac{1}{4\pi i} \int_{\gamma(1, \pi)} \frac{e^{t_{\frac{1}{2}}} + e^{\pm i\pi(1-\mu)} e^{-t_{\frac{1}{2}}}}{t-z} t^{\frac{1}{2}(1-\mu)} dt,$$
 (16)

справедливые в области $|\arg z| < \pi, |z| > 1$.

Обозначим

$$\Phi_{1}^{(\pm)}(z) = \frac{1}{4\pi i} \int_{\gamma(\pm)}^{\infty} \frac{e^{t^{\frac{1}{2}}} + e^{-i\pi(1-\mu)}e^{-t^{\frac{1}{2}}}}{t-z} t^{\frac{1}{2}(1-\mu)} dt, \qquad (17)$$

$$\psi_{1}(z) = \frac{1}{4\pi i} \int_{K} \frac{e^{t^{\frac{1}{2}}} + e^{-i\pi(1-\mu)}e^{-t^{\frac{1}{2}}}}{t-z} t^{\frac{1}{2}(1-\mu)} dt, \qquad (18)$$

$$\Phi_2^{(\pm)}(z) = \frac{1}{4\pi i} \int_{\gamma^{(\pm)}}^{\infty} \frac{e^{t^{\frac{1}{2}}} + e^{i\pi(1-\mu)}e^{-t^{\frac{1}{2}}}}{t-z} t^{\frac{1}{2}(1-\mu)}dt, \qquad (17')$$

$$\psi_{2}(z) = \frac{1}{4\pi i} \int_{K} \frac{e^{t^{\frac{1}{2}}} + e^{i\pi(1-\mu)}e^{-t^{\frac{1}{2}}}}{t-z} t^{\frac{1}{2}(1-\mu)} dt, \qquad (18')$$

тогда представления (16) примут вид

$$E_{\frac{1}{2}}(z; \mu) = \frac{1}{2} z^{\frac{1}{2}(1-\mu)} \left\{ e^{z^{\frac{1}{2}}} + e^{-i\pi(1-\mu)} e^{-z^{\frac{1}{2}}} \right\} + \Phi_{1}^{(H)}(z) + \Phi_{1}^{(-)}(z) + \psi_{1}(z)$$

$$E_{\frac{1}{2}}(z; \mu) = \frac{1}{2} z^{\frac{1}{2}(1-\mu)} \left[e^{z^{\frac{1}{2}}} + e^{i\pi(2-\mu)} e^{-z^{\frac{1}{2}}} \right] + \Phi_{2}^{(+)}(z) + \Phi_{2}^{(-)}(z) + \psi_{2}(z).$$

$$(19)$$

Далее, имеем:

$$\Phi_{1}^{(+)}(z) + \Phi_{1}^{(-)}(z) = \frac{1}{4\pi i} \int_{1}^{\infty} \frac{e^{i\frac{\pi}{2}(1-\mu)} \left[e^{i\sqrt{x}} + e^{-i\pi(1-\mu)} e^{-i\sqrt{x}} \right]_{[x^{\frac{1}{2}}(1-\mu)} dx - \frac{1}{4\pi i} \int_{1}^{\infty} \frac{e^{-i\frac{\pi}{2}(1-\mu)} \left[e^{-i\sqrt{x}} + e^{-i\pi(1-\mu)} e^{i\sqrt{x}} \right]_{x^{\frac{1}{2}}(1-\mu)} dx = \frac{\sin\pi\mu}{2\pi} \int_{1}^{\infty} \frac{e^{i\left[\sqrt{x} - \frac{\pi}{2}(1-\mu)\right]}}{x+z} x^{\frac{1}{2}(1-\mu)} dx. \tag{20}$$

$$\Phi_{2}^{(+)}(z) + \Phi_{2}^{(-)}(z) = \frac{1}{4\pi i} \int_{1}^{\infty} \frac{e^{i\frac{\pi}{2}(1-\mu)} \left[e^{i\sqrt{x}} + e^{i\pi(1-\mu)} e^{-i\sqrt{x}} \right]}{x+z} \times x^{\frac{1}{2}(1-\mu)} dx - \frac{1}{4\pi i} \int_{1}^{\infty} \frac{e^{-i\frac{\pi}{2}(1-\mu)} \left[e^{-i\sqrt{x}} + e^{i\pi(1-\mu)} e^{i\sqrt{x}} \right]}{x+z} x^{\frac{1}{2}(1-\mu)} dx = \frac{\sin\pi\mu}{2\pi} \int_{1}^{\infty} \frac{e^{-i\left[\sqrt{x} - \frac{\pi}{2}(1-\mu)\right]}}{x+z} x^{\frac{1}{2}(1-\mu)} dx. \tag{20}$$

Заметим, кроме того, что функции $\psi_1(z)$, $\psi_2(z)$ голоморфны везде в области |z|>1 и при $|z|\to\infty$ имеем

$$\psi_{\kappa}(z) = O\left(\frac{1}{z}\right), \quad (k=1, 2).$$
 (21)

Формулой (19) мы воспользуемся для установления утверждения а), а формулой (19')—для установления утверждения б) теоремы. Докажем теперь, что при $|z| \to \infty$

$$\int_{1}^{\infty} \frac{e^{i\sqrt{x}} x^{\frac{1}{2}(1-\mu)}}{x+z} dx = O\left(\frac{1}{z}\right), \text{ если } O \leqslant \arg z \leqslant \pi,$$
 (22)

$$\int_{1}^{\infty} \frac{e^{-i\sqrt{x}} x^{\frac{1}{2}(1-\mu)}}{x+z} dx = O\left(\frac{1}{z}\right), \text{ если } -\pi \leqslant \arg z \leqslant O.$$
 (22')

Если формулы (22) и (22') будут установлены, то очевидно, что утверждение а) теоремы будет следовать из (19), (20), (21) и (22), а утверждение б) будет следовать из (19'), (20'), (20) и (22').

Для доказательства (22) рассмотрим функцию

$$\frac{e^{i\sqrt{w}}}{7v + z} \sqrt{v^2} (1 - \mu) \tag{23}$$

в области $0 \le \arg w \le \frac{\pi}{2}$, где z фиксировано и $0 \le \arg z < \pi$. Причем берется та ветвь функции (23), которая на положительной веществен-

ной оси плоскости w = u + iv принимает значения

$$\frac{e^{i\sqrt{u}}}{u+z}u^{\frac{1}{2}(1-\mu)}.$$
 (23')

Обозначим через L(R), (R>1) пробегаемый в положительном направлении контур, состоящий из отрезка (iR, i), дуги окружности $C_1\left(|w|=1,\ 0\leqslant\arg w\leqslant\frac{\pi}{2}\right)$, отрезка (1,R) и дуги окружности $C_R\left(|w|=R,\ 0\leqslant\arg w\leqslant\frac{\pi}{2}\right)$.

Так как $0 \le \arg z < \pi$, то при любом R > 1 имеем:

$$\int \frac{e^{i\sqrt{w}}}{w + z} w^{\frac{1}{2}(1-\mu)} \quad dw = 0. \tag{24}$$

Формула (24) в развернутом виде принимает вид:

$$\int_{1}^{R} \frac{e^{i\sqrt{u}} u^{\frac{1}{2}(1-\mu)}}{u+z} du + \int_{C_{R}} \frac{e^{i\sqrt{w}} w^{\frac{1}{2}(1-\mu)}}{w+z} dw - ie^{i\frac{\pi}{4}(1-\mu)} \int_{1}^{R} \frac{e^{-\frac{1-i}{\sqrt{2}}\sqrt{v}} v^{\frac{1}{2}(1-\mu)}}{iv+z} dv + \int_{C_{1}} \frac{e^{i\sqrt{w}} w^{\frac{1}{2}(1-\mu)}}{w+z} dw = 0. \quad (24')$$

Если R > |z|, то имеем оценку

$$\left| \int_{C_R} \frac{e^{i\sqrt{w}} w^{\frac{1}{2}(1-\mu)}}{w+z} dw \right| \leq \frac{R}{R-|z|} R^{\frac{1}{2}(1-\mu)} \int_{0}^{\frac{\pi}{2}} e^{-R^{\frac{1}{2}} \sin \frac{\varphi}{2}} d\varphi < \frac{R}{R-|z|} R^{\frac{1}{2}(1-\mu)} \int_{0}^{\frac{\pi}{2}} e^{-\frac{R^{\frac{1}{2}}}{R} \varphi} d\varphi < \frac{\pi R}{R-|z|} R^{-\frac{\mu}{2}}.$$
 (25)

Но по условию $\mu > 0$, поэтому после предельного перехода, когда $R \to +\infty$, из (24') и (25) получим формулу

$$\int_{0}^{\infty} \frac{e^{i\sqrt{u}} u^{\frac{1}{2}(1-\mu)}}{u+z} du = ie^{i\frac{\pi}{4}(1-\mu)} \int_{0}^{\infty} \frac{e^{-\frac{1-i}{\sqrt{2}}\sqrt{v}} v^{\frac{1}{2}(1-\mu)}}{iv+z} dv + \frac{e^$$

$$+ \int_{C_1} \frac{e^{i\sqrt{w}} w^{\frac{1}{2}(1-\mu)}}{w+z} dw, \qquad (24'')$$

справедливую при $0 \le \arg z < \pi$.

Но первый интеграл справа в (24'') абсолютно сходится во всей замкнутой полуплоскости $0 \ll \arg z \ll \pi$, так как тогда

$$\left| \int_{1}^{\infty} \frac{e^{-\frac{1-i}{\sqrt{2}}\sqrt{v}} v^{\frac{1}{2}(1-\mu)}}{iv - z} dv \right| \leq \int_{1}^{\infty} \frac{e^{-\sqrt{\frac{v}{2}}} v^{\frac{1}{2}(1-\mu)}}{\sqrt{(Rez)^{2} + (v + I_{m}z)^{2}}} dv \leq \frac{1}{|z|} \int_{1}^{\infty} e^{-\sqrt{\frac{v}{2}}} v^{\frac{1}{2}(1-\mu)} dv = \frac{A_{1}}{|z|}.$$
(26)

Что касается второго интеграла справа в (24"), то она—голоморфная функция везде вне дуги C и очевидно, что при $|z| \to \infty$ эта функция имеет порядок $\frac{1}{|z|}$

Из (24") и из сделанных выше замечаний следует, что интеграл (22) представляет функцию, голоморфную везде в области $0 \leqslant \arg z \leqslant \pi$, и при $|z| \to \infty$ имеет порядок $\frac{1}{|z|}$. Таким образом, утверждение (22) доказано.

Что касается утверждения (22'), то очевидно оно является простым следствием из (22).

Таким образом, теорема полностью доказана.

Следует отметить, что асимптотическая формула (7), установленная при $\mu>0$, представляет интерес только при $\frac{1}{2}(\mu-1)<1$, тоесть при $\mu<3$.

Аналогичное замечание относится и к формуле (3), которая представляет интерес при $\rho(\mu-1)<1$, то-есть при $\mu<1+\frac{1}{\rho}$.

Сектор математики и механики Академии наук Армянской ССР

Մ. Մ. ՋՐԲԱՇՅԱՆ

Միտտագ–ԼեՖլերի տիպի Ֆունկցիայի ասիմպտոտական վարքի մասին

Ներկա հոդվածում

$$E_{\rho}(z; \mu) = \sum_{n=1}^{\infty} \frac{z^n}{\Gamma(\mu + n\rho^{-1})}$$

շարքերով որոշվող Միտտագ-Լեֆլերի տիպի ամրողջ ֆունկցիայի համար ապացուցվում է հետևյալ Թեորեման։

 $bBb\mu > 0$, mmm

m)
$$bpp 0 \leq arg z \leq \pi, |z| \to \infty$$

$$E_{\frac{1}{2}}(z; \mu) = \frac{1}{2} z^{\frac{1}{2}(1-\mu)} \left\{ e^{z^{\frac{1}{2}}} + e^{-i\pi(1-\mu)} e^{-z^{\frac{1}{2}}} \right\} + O\left(\frac{1}{z}\right).$$

p)
$$b_{pp} - \pi \leq \arg z \leq 0$$
 $h |z| \to \infty$

$$E_{\frac{1}{2}}(z;\;\mu) = \frac{1}{2}z^{\frac{1}{2}(1--\mu)}\left\{e^{z^{\frac{1}{2}}} + e^{i\pi(1-\mu)}e^{-z^{\frac{1}{2}}}\right\} + O\left(\frac{1}{z}\right).$$

$$E_{\frac{1}{2}}(-x; \mu) = x^{\frac{1}{2}(1-\mu)}\cos\left(\sqrt{x} + \frac{\pi}{2}(1-\mu)\right) + O\left(\frac{1}{x}\right).$$

ЛИТЕРАТУРА — ԳՐԱԿԱՆՈՒԹՅՈՒՆ

1 М. М. Джрбашян, Изв. АН СССР, серия мат., т. 18. № 5, 1954. 2 М. М. Джрбашян, ДАН СССР, 95, № 6, 1954, 3 Фрай и Гюгенс, Duke Math. Journ., Vol. 9, 1942. 4 См. напр. А. И. Маркушевич, Теория аналитических функций, М.—Л., 1950.

АСТРОФИЗИКА

Г. С. Бадалян

Определение избирательного поглощения света в области Щита посредством галактических цефеид

(Представлено В. А. Амбарцумяном 10 VIII 1954)

С целью исследования поглощения света по направлению темного облака Щита мы произвели двухцветные фотографические наблюдения 16 галактических цефеид, истинные расстояния которых заключены между 600 и 9000 парсеками. Так как область темного облака Щита близка к центру Галактики, изучение ее представляет большой интерес с точки зрения исследования структуры Галактики.

Для 7 цефеид наблюдения были получены на 5" двойном астрографе "Эрностар" летом 1948 года, а для 9 цефеид наблюдения велись летом 1952 г. на 6" астрографе, фокусное расстояние которого равно одному метру. Число наблюдений каждой цефейды не меньше трех, а для большинства достигает десяти.

Методика определения медианных фогографических, фотовизуальных величин, наблюденных показателей цвета и нормальных показателей цвета подробно изложена в наших предыдущих работах (1,2).

Полученные результаты приведены в табл. 1, где в первом столбце даны обозначения цефеид, во втором и третьем столбцах галактические координаты, в четвертом столбце—медианные фотографические величины, в пятом столбце—наблюденные показатели цвета, в шестом — избирательное поглощение, в седьмом — истинные расстояния, исправленные за поглощение.

Пространственное распределение данных цефеид в галактыческих координатах в проэкции представлено на рис. 1.

Эти цефеиды по направлению настолько близки друг к другу, что кажется будто они составляют пространственное сгущение. Однако ясно видно, что для этих цефеид модули расстояния, приведенные в табл. 2, изменяются от 9.^m00 до 15.^m00, следовательно, можно утверждать, что по направлению Щита галактические цефеиды не образуют пространственного сгущения.

Полученные нами значения избирательного поглощения для рассматриваемых цефеид довольно велики. Средняя величина избирательного поглощения, определенная по цефеидам, которые расположены по направлению темного облака Щита, равна 0.^т67, а определенная по цефеидам, находящимся на краях яркого облака Щита—0.^т48. Значительное

№ № n.n.	Цефеиды	I	b	m_{pg}	CI	CE	η
1	X Sct	346°.7	-3°.1	10 ^m 74	1 in 12	0 ^m 64	820
2	Y Sct	351.7	-2.3	11.20	1.30	0.63	1410
3	Z Sct	354.5	-2.2	10.85	1.57	0.85	830
4	Ru Sct	355.9	-1.2	11.32	1.74	0.92	1060
5	SS Sct	352.9	-3.3	9.09	0.84	0.40	610
6	TY Sct	355.7	-1.4	12.19	1.53	0.84	1470
7	HZ Sct	346.9	-3.2	13.55	1.39	0.80	3 60
8	AN Sct	355.6	-4.6	14.50	1.25	0.52	8470
9	BW Sct	355.9	-2.3	13.05	0.70	0.35	4270
10	BX Sct	356,6	-3.2	13.82	1,32	0.75	3100
11	CK Sct	354.2	-1.90	11.79	1.25	0.65	1580
12	CM Sct	357.2	-2.0	11.46	1.21	0.75	650
13	CO Sct	350.2	-4.6	14.31	1.36	0.58	8130
14	CZ Sct	356.3	-5.5	14.85	1.39	0.73	7210
15	CN Sct	356,9	-2.1	13.35	2.15	1.15	1200
16	PZ Aql	358.5	-4.2	12.94	1.08	0.44	4430
		1	1 2 1 1	1		1	

Таблица 2 избирательное поглощение получено по направлению Y Sct, RU Sct, TY Sct и CO Sct, которые расположены в совершенно темных областях Щита. Необходимо сказать, что, несмотря на 10, что Z Sct и CZ Sct находятся на краях яркой области SS Sct, а в яркой области, все же для них получается поглощение такого же порядка, как и по направлению темного места облака.

m_0-M	A(m)	m_0-M	A(m)
9 ^m 00	1	12 ^m 50	1
9.50	1	13,00	1
10.00	2	13.50	2
10.50	2	14.00	0
11.00	3	14.50	0
11.50	0	15.00	2
12.00	0	15.50	1
		4 1	

Из вышеупомянутых цефеид Эгген (3)

фотоэлектрическим методом наблюдал SS Sct. Между результатами Эггена и нашими относительно избирательного поглощения для SS Sct имеется хорошее согласие. Избытки цвета соответственно равны 0. 37 и 0. 40.

Полученное по цефеидам избирательное поглощение мы сравнили с результатами Стеббинса, Хаффера и Уитфорд (4), относящимся к тем В-звездам, которые по модулю расстояния и направлению близки к цефеидам.

Оказалось, что по каталогу Стеббинса и его сотрудников ряд В-звезд по модулю расстояния и по направлению довольно близки к следующим цефендам: Y Sct, Z Sct, SS Sct, X Sct и т. д.

Данные относительно избирательного поглощения и истинных расстояний этих цефеид и В-звезд приведены в табл. 3.

Наша система показателей цвета почти совпадает с интернацио-

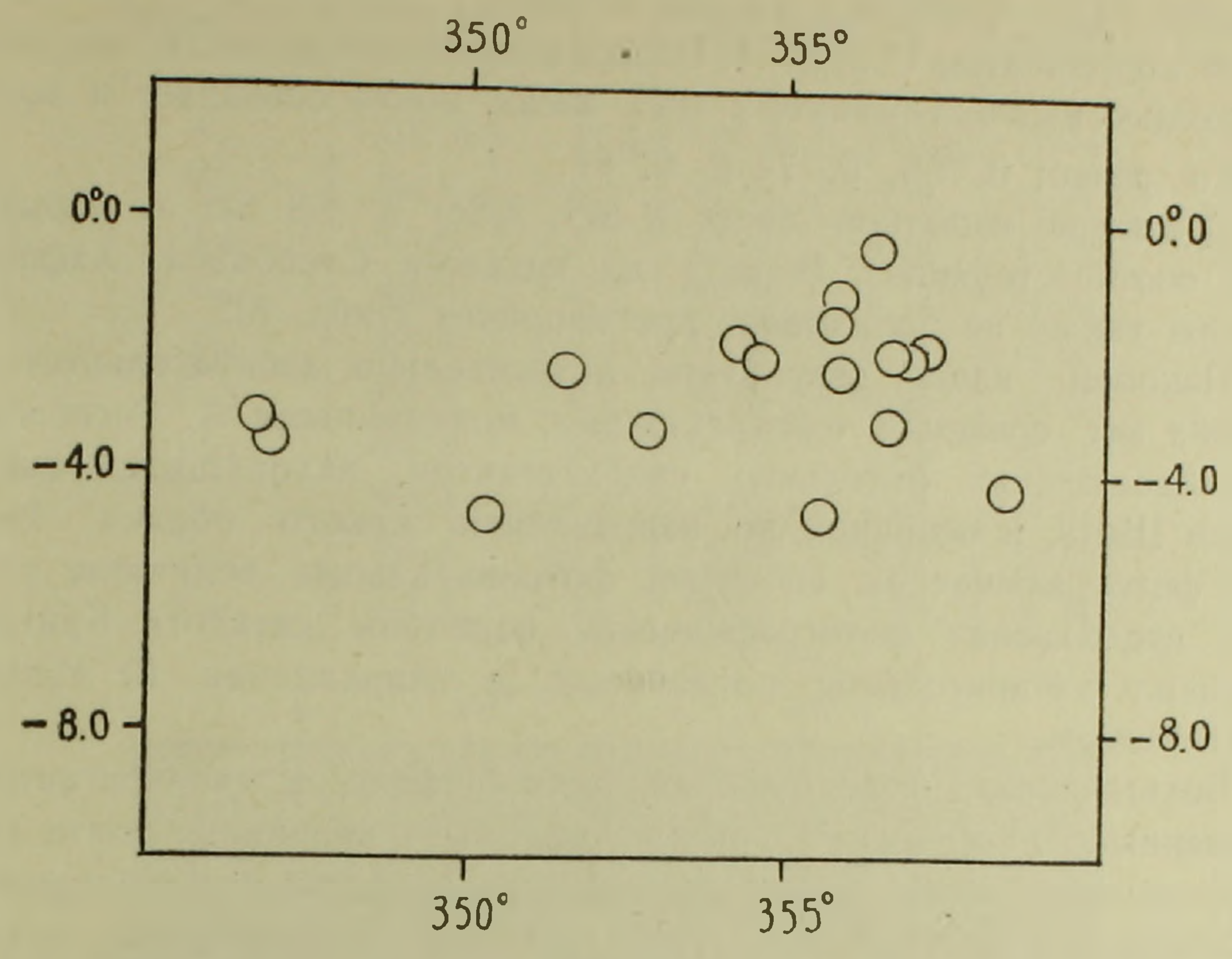


Рис. 1.

Таблица 3

№ № пп.	Звезды	1	b	CEint	M_0 — M	r	a
1	X Sct	346°.7	_3°.1	0 m 64	9 ^m 58	820	3 ^m 59
2	HD 169727	345.6	-2.3	0.89	10.11	1050	4.21
3	HD 170 59	346.5	. 2.4	0.70	9.91	960	3.65
4	HD 170177	346.0	-2.7	0.93	9.17	680	6.84
5	HD 170453	345.6	-3.2	0.51	10.31	1150	2.22
6	J Sct	351.7	-2.3	0.63	10.75	1410	2.06
7	HD 172175	352.2	-2.3	0.74	10.87	1490	2.48
8	HD 172367	352.9	2.2	0.61	11.26	1790	1.70
9	Z Sct	354.5	-2.2	0.85	9.60	830	4.71
10	HD 173438	355.9	-2.3	0.87	2.28	720	6.04
11	SS Sct	352,9	-3.3	0.40	8.93	610	3.02
12	HD 172175	352.2	-2.3	0.74	10.87	1490	2.48
13	HD 172367	352.9	-2.2	0.61	11.26	1790	1.70
14	HD 173637	353.0	-4.0	0.51	11.01	1590	1.60

нальной системой. Электрофотометрическая система Стеббинса и его сотрудников может быть приведена к интернациональной по формуле: $CE_{\text{int}} = 1.9 \ (CE_1 + 0.04)$. (1)

Из данных табл. З видно, что для избирательных поглощений, определенных совершенно независимо друг от друга и разными методами с помощью вышеупомянутых цефеид и В-звезд, получаются согласные результаты.

Так, например, Y Sct, HD 172175 и HD 172367 по направлению и по истинному расстоянию очень близки друг к другу и расположены

в темной области Щита, занимая область с протяжением по галактическим координатам $1^{\circ}.2\times0^{\circ}.1$. Избирательное поглощение, полученное с помощью вышеупомянутых трех звезд. почти совпадает и соответственно равно: $0.^{m}63$, $0.^{m}74$ и $0.^{m}61$.

Сравнение избытков цвета X Sct, Z Sct и SS Sct с избытками цвета соответствующих В-звезд из каталога Стеббинса. Хаффера и Уитфорд также не показывает противоречия (табл. 3).

Наконец. наши результаты относительно избирательного поглощения мы сравнили с результатами, полученными А. Ресселом (5) путем наблюдения отдельных сверхгигантов, находящихся также в области Щита, в основном по направлению яркого облака. Рессел, найдя фотографическим способом фотовизуальные величины слабых звезд, использовал фотографические величины каталога Кригера и определил избирательное поглощение в направлении 10 типичных сверхгигантов.

Большинство исследованных нами цефенд и сверхгиганты, исследованные Ресселом (5), имеют видимые величины почти одинакового порядка, иначе говоря, они должны находиться приблизительно на одинаковых расстояниях от нас. Поэтому целесообразно сравнить избирательное поглощение, полученное нами и Ресселом (5). Данные Рессела приведены в табл. 4. Координаты, приведенные в этой таблице, относятся к центрам областей, в которых расположены сверхгиганты и которые обозначены Ресселом соответственно через А, В, С, Е и F, причем диаметр каждой области равен 15°. Сопоставление на карте показывает, что приведенные в таблице сверхгиганты расположены в яркой области Щита.

Ряд цефеид находится в направлении темной области Щита и ближе к нам. чем типичные сверхгиганты, находящиеся в яркой области. Однако избирательное поглощение, полученное по цефеидам и по обычным сверхгигантам, почти одинакового порядка, как, например у звезд $A_{2"}$ и Z Sct. Это обстоятельство легко объясняется тем, что эти цефеиды, хотя и расположены по направлению темной области. но близки, а сверхгиганты, хотя и расположены в яркой прозрачной

области, но на большом расстоянии.

Таким образом, сравнение избирательного поглощения, полученного по галактическим цефеидам и из наблюдений сверхгигантов в области Щита, показывает, что между ними имеется общее согласие.

Распределение цефеид и центров областей Кригера (A, B, C, D, E и F) по темной и яркой области Щита показано на рис. 2. На этом рисунке приведена область Щита. где имеются темные, полутемные и светлые области. На рисунке открытыми кружками обозначены цефеиды, сплошными кружками—В-звезды, по направлению и истинным расстояниям близкие к цефеидам, взятые из каталога Стеббинса, Хаффера и Уитфорд, и крестиками обозначены центры областей Кригера. Из рис. 2 ясно видно, что цефеиды в основном

Рис. 2.

— светлая область.

— полусветлая область.

— темная область.

в

расположены в темной части Щига, а типичные сверхгиганты, наблюденные Ресселом—в яркой части.

Приведенные данные показывают, что между избирательным поглощением, определенным посредством равных объектов, не имеется противоречия.

Произведенное затем сравнение избирательного поглощения, по-лученного М. А. Вашакидзе с помощью тех же цефеид в области

Щита, с нашими данными показало, что по ряду цефенд имеется удовлетворительное согласие, а в отношении других цефенд расхождение значительно.

Таким образом, вышеприведенные результаты относительно избирательного поглощения, полученные Стеббинсом и его сотрудниками из электрофотометрических наблюдений и из фотографических наблюдений Рессела и наших, служат основанием для вывода, что действительно в направлении Щита космическое поглощение значительно. Особенно большое поглощение получается у сравнительно близких цефеид, которые расположены в направлении темной области Щита.

Кроме того, наши результаты ясно показывают, что как в светлой области, так и в темной поглощение, а следовательно и распределение темной материи, весьма неоднородное.

Бюраканская астрофизическая обсерватория Академии наук Армянской ССР

Z. U. FUPULBUT

Գալակաիկական ցեՖեիդների միջոցով լույսի ընտրական կլանման որոշելը Վահան համաստեղության տիրույթում

Վահան համաստեղության մութ և մասամի էլ լուսավոր տիրույթում դալակտիկական ցեֆեիդների երկու դույնի լուսանկարչական դիտումների միջոցով որոշված է լուսանկարչական ճառադայթներում լույսի ընտրական կլանումը, 16 ցեֆեիդների ուղղություններում։

Քանի որ այդ տիրույթը րավական մոտ է դտնվում Դալակտիկայի կենտրոնի ուդդությանը, դրա համար էլ, նրա ուսումնասիրությունը նշանակալից է Գալանտիկայի ստրուկտուրայի հետազոտման տեսակետից։ Ձնայած որ այդ տիրույթում եղած ցեֆեիդները պրոեկցիայի վրա ներկայացնում են օպտիկական որոշ խտացում, սակայն նրանց իրական հեռավորության տվյալները ցույց են տալիս, որ դտնվում են խիստ տարրեր հեռավորությունների վրա, սկսած 600 մինչև 9000 պարսեկ, հետևարար իրենց բաշխվածու-

Միանդամայն իրարից անկախ և տարրեր մեթողներով մեր դիտած ցեֆեիդների և Ստերբինսի, Հաֆֆերի և Ուիտֆորդի B-աստղերի (այն B-աստղերի, որոնք ըստ ու դղության և հեռավորության բավական մոտ են ցեֆեիդներին) միջոցով որոշած ընտրական կլա-նումների միջև ստացվում է որոշակ համաձայնություն։

Մեր դիտումներից ստացված և Ռեսսելի կողմից նույն տիրույթի հիմնականում պայծառ մասում տիպիկական դերհսկա աստղերի միջոցով որոշած ընտրական կլանումների միջև նույնպես դոյություն ունի ընդհանուր համաձայնություն։

Ստացված արդյուն ընները ցույց են տալիս, որ Վահան համաստեղության մութ և պայծառ տիրույթի ուղղությամբ ընտրական կլանումը, հետևարաը և կլանող նյութը, ունի միանգամայն անհամասես բաշխվածություն, որովհետև դրեթե հավասար իրական հետավորություն ունեցող աստղերի ուղղությամբ ստացվում է բավական տարբեր ընտրա-

քացի դա, մեր ստացած արդյունքների հիման վրա կարելի է նախնական ենքադրություն անել, որ այդ տիրույթում կլանող նյութեր հիմնականում օժտված է ընտրական կլանման էֆեկտ առաջ բերող մասնիկներից։

ЛИТЕРАТУРА— ԳРԱԿԱՆՈՒԹՅՈՒՆ

1 Г. С. Бадалян, Сообщения Бюраканской обсерватории, вып. 3, 1949. ² Г. С. Бадалян, Сообщения Бюраканской обсерватории, вып. 8, 1951. ³ Эгген. Ар. I, 113, 367, 1951. ⁴ Стеббинс, Хаффер, Уитфорд, Ар. I. 91, 20. 1940. ⁵ Рессел, 58, 80, 1953.
⁸ М. А. Вашакидзе, Бюллетень Абаст. обс., № 13, 1953.

БИОФИЗИКА

Б. Н. Мелик-Мусьян и Г. Г. Демирчоглян

К вопросу об электроретинографии при амблиопии и амаврозе*

(Представлено Г. Х. Бунятяном 17 VII 1954)

Границы амблиопии и амавроза стираются, когда без видимых анатомических изменений, офталмоскопических отклонений от нормы, аномалий рефракций зрение у больного определяется в пределах светоощущения.

Не перечисляя все возможные причины острого и хронического характера, могущие привести к такому состоянию, можно полагать, что в этих случаях имеет место изменение функционального состояния определенных участков центральной нервной системы. Если эги функциональные расстройства в дальнейшем выравниваются, то соответственно этому выравниваются также и нарушения зрения. Случаи же стойких органических изменений в пределах центральной нервной системы соответствуют необратимым нарушениям зрительной функции.

• Не вдаваясь в подробности амавроза и амблиопии, в настоящей заметке мы хотели бы остановиться на двух характерных случаях, встретившихся по ходу наших электроретинографических исследований, которые, несмотря на совершенно идентичную картину глазного дна, имеют противоположную электроретинографическую картину.

1. Больной А. М. 25 лет. По анамнезу в 1952 году после автоаварии с травмой черепа и перенесенного шокового состояния отмечает постепенное ослабление остроты зрения на правом глазу вплоть до светоощущения. На левом глазу острота зрения равна единице.

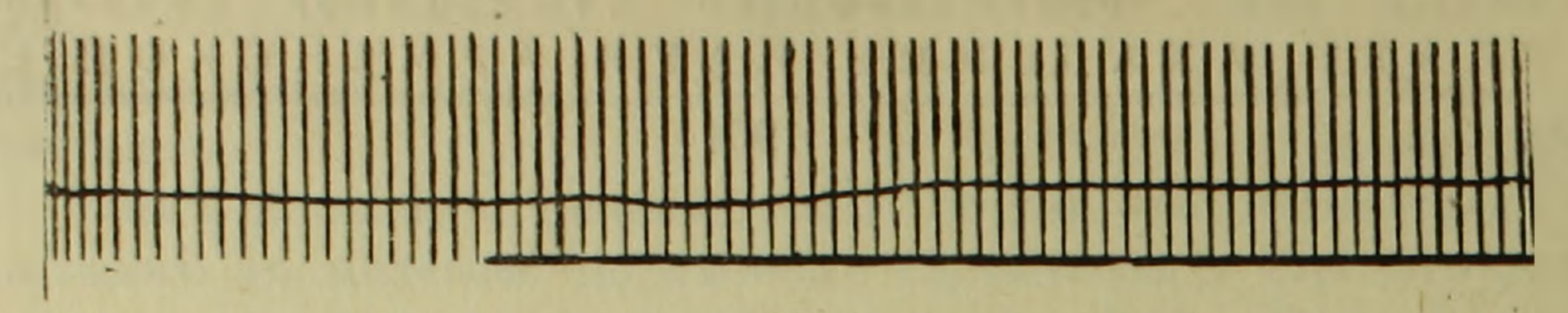
При офталмоскопии никаких отклонений от нормы на дне правого глаза не наблюдается. Офталмоскопическая картина правого глаза аналогична картине дна левого глаза.

Электроретинография пораженного глаза показывает явное от-

сутствие биопотенциалов сетчатки (фиг. 1).

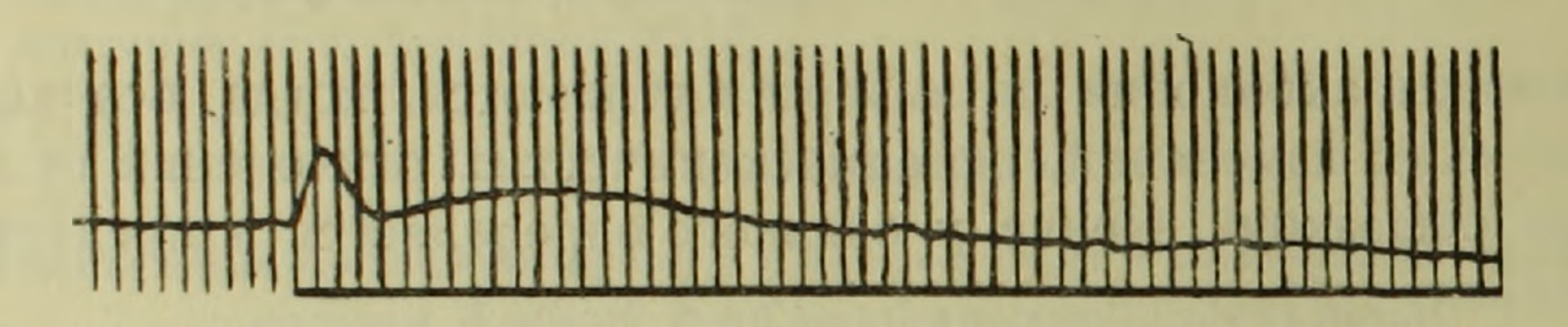
2. Больной Л. 22 года. Внезапно потерял зрение обоих глаз. До этого обладал нормальным зрением. В клинику попал в связи с неожиданной потерей зрения.

Под амблиопией обычно подразумевается понижение зрения без видимых изменений глаз, под амаврозом же—полная потеря зрения.

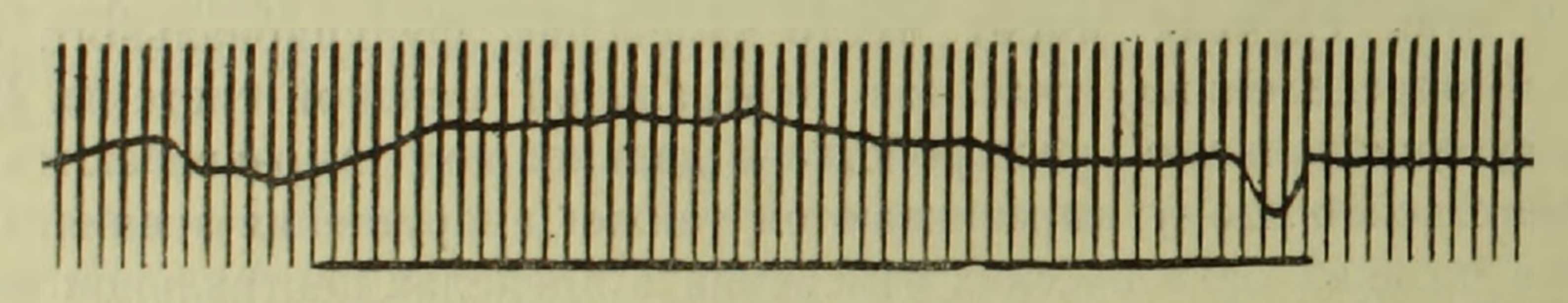


Фиг. 1.

При офталмоскопии, аналогично предыдущему случаю, отклонений от нормы не отмечается. Иных отклонений анатомического характера также нет. Скнаскопически—эмметропия. Зрение—светоощущение обоих глаз. Такое резкое понижение зрения имело место лишь четыре дня тому назад. Регистрация электроретинограммы обоих глаз показала наличие ЭРГ, которые по своей интенсивности несколько превышали нормальный уровень (фиг. 2).



• Фиг. 2а.



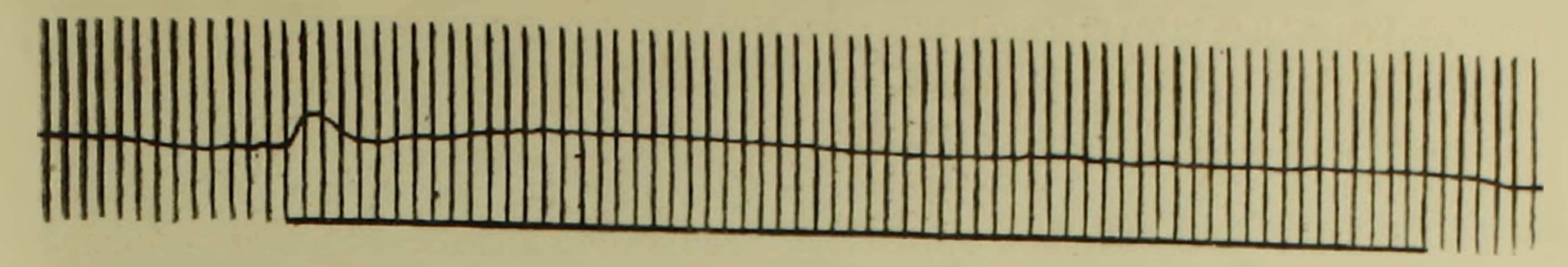
Фиг. 26.

Нормальное состояние дна глаза, интенсивные биопотенциалы обоих сетчаток, внезапная потеря зрения, имеющая давность четырех дней—все это дает основание полагать что в данном случае имеет место функциональное расстройство, вероятно, в корковых участках зрительного анализатора. Эти нарушения центрального характера хотя и привели к временной потере зрения, однако они не сопровождались выпадением ЭРГ, а лишь привели к некоторой ее экзальтации. Таким образом, в опеределенных условиях мы встречаемся с высвобождением некоторых обычно скрытых резервов деятельности сетчатки, что, понятно, может иметь важное биологическое значение.

у больного благодаря больничному режиму и покою через четыре дня зрение полностью восстановилось. Мы имели, таким образом, в данном случае типичный истерический амавроз, вызванный некоторыми психическими моментами, оставшимися для нас неизвестными.

Интересно отметить, что перед выпиской, при повторной электроретинографии, биотоки сетчаток обоих глаз оказались в пределах нормы, и прежняя их экзальтация исчезла (фиг. 3). Очевидно, что с

нормализацией функционального состояния центральной нервной системы произошла нормализация и функций сетчатки.



Фиг. 3.

Приведенные два случая показывают, таким образом, что деятельность сетчатки глаза, как периферического звена зрительного анализатора, находится в зависимости от органических или функциональных сдвигов в центральной нервной системе. Если в первом случае (органические поражения) отмечено полное выпадение функций ретины и электроретинографической кривой, то во втором (функциональные поражения) отмечается некоторая интенсификация ретинальных функций. Это лишний раз показывает, что в условия идентичной офталмоскопической картины данные электроретинографии (1) и при амблиопии и амаврозе создают более точные представления о состоянии зрительного анализатора, приобретая вместе с тем прогностическое значение.

Клиника глазных болезней Ереванского мед. института Институт физиологии Академии наук Армянской ССР.

F. Ն. ՄԵԼԻՔ-ՄՈՒԱՅԱՆ ԵՎ Հ. Գ. ԴԵՄԻՐՉՕՂԼՅԱՆ

Ամբլիոպիայի և ամավրոզի ժամանակ Էլեկտրառետինոգրաֆիկ փոփոխությունների մասին

Եթե օրդասական փոփոխությունների ժամանակ նկատնլի է էլնկարառնարնողթամմայի թացարձակ բացակայություն, ապա ֆունկցիոնալ դեպբում տնդի է ունննում էլնկարտանտինոգրամմայի ուժեղացում, որը ճետադայում ցանցենու ֆունկցիայի վերականգնումով թողարկվում է նորմայիզացիայի։

Էլեկարասետինողրաֆիկ այս ձևի փոփոխությունները, անկասկած, կարող են ար-«Իրեկարասետինողի հիվանդների կլինիկական հետաղոտությունների ժամանակ։

ЛИТЕРАТУРА— ТРИЧИБОТЕЗЯТЬ

1. Б. Н. Мелик-Мусьян и Г. Г. Демирчоглян, К теории и практике клиниче ской электроретинографии, Изд. АН АрмССР, Ереван, 1954.



ОРГАНИЧЕСКАЯ ХИМИЯ

А. Т. Бабаян, Г. М. Мкрян и Н. Г. Вартанян

Изомеризация 1-диалкиламинобутинов-2

(Представлено А. Л. Миджояном 5 V 1954)

В нашей лаборатории был разработан удобный путь синтеза 1-диалкиламинобутинов-2(1) по схеме:

$$R_2NH+CICH_2CH=CCICH_3\rightarrow R_2N-CH_2CH=CCI-CH_3\xrightarrow{NaOH}$$

 $\rightarrow R_2N-CH_2-C\equiv C-CH_3$.

Было интересно на примере этих соединений изучить открытую А. Е. Фаворским (2) реакцию изомеризации двузамещенных ацетиленов в однозамещенные.

$$R_3N-CH_2-C\equiv C-CH_3\rightarrow R_3N-CH_2-CH_3-C\equiv CH$$

Как известно, эта изомеризация происходит под действием металлического натрия при температурах выше 100°.

Мы изучили действие металлического натрия на 1-диметиламинобутин-2. При этом было установлено, что наличие диалкиламиногрушпы значительно облегчает изомеризацию тройной связи.

При комнатной температуре в эфирной среде в течение трех часов изомеризация практически заканчивается.

Здесь, так же как и при изомеризации ацетиленовых углеводородов, часть аминобутина гидрируется в аминобутен. Поэтому одна треть натрия, взятого в эквимолекулярных количествах к диметиламинобутину, оставалась непрореагировавшей даже при продолжительном перемешивании.

Гидролизом осадка натрийацетиленида получили продукт изомеризации 1-ди- метиламинобутин-3 в совершенно чистом виде. Соединение это впервые было синтезировано Маршаком и Эпштейном (3) из бутин-1-ола-4 через бензосульфонат и дальнейшую обработку диметиламином.

Экспериментальная часть. Изомеризация 1-диметиламинобутина-2. 1. В 200 мл абсолютного эфира внесено 12 г мелко нарезанного металлического натрия. При постоянном перемешивании прибавлено 50 г (0,52 м) 1-диметиламинобутина-2. Перемешивание продолжалось 6 часов. В результате все же 4 г нагрия осталось не прореагировавшим. При охлаждении реакционная смесь была подвергнута гидролизу. Верхний слой и эфирная вытяжка нижнего высушены и после отгонки растворителя разогнаны.

Получено: до 90°... 1.2 г; 92—101°... 16,4 г; 101—102°... 8,2 г; 102—104°... 10.1 г; 104—105°... 3,7 г; остаток 2,2 г. Повторная перегонка также не дала резких фракций. Поэтому в дальнейшем для получения чистых продуктов осадок ацетиленида отфильтровывали и затем подвергали гидролизу.

2. В 200 мл абсолютного эфира внесено 11,5 г (0,5м) мелко нарезанного металлического натрия. При энергичном перемешивании прилито 73 г (0.75 м) 1-диметиламинобутина-2. Перемешивание продолжалось 3 часа. Выпавший натрий ацетиленид отфильтрован через слой песка, промыт эфиром, подвергнут гидролизу.

Верхний слой, вместе с эфирной вытяжкой нижнего, высущен и после отгонки растворителя разогнан. Получено 38,7 г 1-диметиламино-бутина-3, обладающего следующими свойствами: т. к. $102-105^{\circ}$ (680мм); ... n_D^{20} 1,4275: ... d_4^{20} 0,78067 нодметилат плавится при 224° .

По литературным данным (3), т. к. $97-98^\circ$: \mathfrak{n}_D^{20} 1.4282: т. п. иодметилата $224-226^\circ$.

Из фильтрата реакционной смеси получено 18,6г продукта гидрирования, кипящего в пределах 90—100° (680 ии).

Выводы: 1. Под действием металлического натрия 1-диметиламинобутин-2, аналогично другим двузамещенным ацетиленовым соединениям изомеризуется в однозамещенный ацетилен—1-диметиламинобутин-3.

2. Наличие диалкиламиногруппы в с положении к ацетиленовому углеродному атому облегчает изомеризацию тройной связи.

Ա. թ. ԲԱԲԱՅԱՆ, Գ. Մ. ՄԿՐՅԱՆ ԵՎ Ն. Գ. ՎԱՐԴԱՆՑԱՆ

1-Դիալկիլամինոբուտին-2-ների իզոմերիզացիան

Ուսու մնասիրված է 1-դիմենիլամինորուտին -2-ի իզոմերիղացիան, մետաղական նատրիումի ազդեցությամբ։ Եույց է տրված, որ այդ իզոմերիղացիան, որի հետևանքով ստացվում է 1-դիմենիլամինորուտին -3-ր, չնորհիվ դիմենիլամինո խմբի առկայության, կատարվում է անհամեմատ տվելի մնդմ պայմաններում, քան համապատասխան ացետիլինային ածխաջրածնի մոտ։

1 А. Т. Бабаян, А. Г. Герзян, ДАН Арм. ССР, ІХ, З, 105, 1948; А. Т. Бабаян н. Н. Г. Вартанян, Изв. АН. Арм. ССР, физ.-мат. естеств. и техн. науки, V, № 6,39, 1952. 2 А. Е. Фаворский, Ж. Р. Х. О, 19, 553 (1887). 3 И. Маршак и Р. Эпштейн, ВІ. 441 1952).

ФАРМАЦЕВТИЧЕСКАЯ ХИМИЯ

А. Л. Миджоян, дейотв. чл. АН Армянской ССР, В. Г. Африкян и А. А. Дохикян

Исследование в области синтеза производных п-алкоксибензойных кислот

Сообщение VII. Аминоэфиры п-(в-метоксиэтилокси) бензойной кислоты и их четвертичные соли.

(Представлено 24 VIII 1953)

В предыдущем сообщении (¹) мы описали группу диалкиламиноалкильных эфиров п-(β-метилмеркапто-этокси) бензойной кислоты синтезированных, исходя из строения метионина, содержащего метилмеркапто группировку.

Метилмеркапто группировка метионина способствует в живом организме метилированию третичных азотов при биосинтезе холина и креатина.

Параллельное изучение биологических свойств растворимых солей алкамино эфиров п-(β-метилмеркапто-этокси) бензойной кислоты и

$$CH_3SCH_2-CH_2O = CO-R$$

$$= 0$$
(1)

синтезированных ранее (2) структурно сходных эфиров п-этоксибензойной кислоты показало, что

$$CH_3-CH_2O = CO-R$$

$$= 0$$
(2)

введение метилмеркапто грууппировки в значительной степени отражается на биологических свойствах производных п-этокси-бензойной кислоты.

Это обстоятельство послужило основой для синтеза сходных с соответствующими меркаптоэфирами кислородсодержащих аналогов.

$$CH_3SCH_2-CH_2O = CO-R$$

$$\parallel$$

$$O$$
(3)

$$CH_3OCH_2-CH_2O = CO-R$$

$$= 0$$
(4)

		MM			M	R _D	A		Аналі С	13 B	0/0	1	N		ратура
R	Выход в Температура кипения	Давление в	Выч	вычи-	найде-	Эмпириче- ская фор- мула	Вычислено	найдено	вычислено	найдено	вычислено	найдено	хлорги- цратов	пикратов	
CH ₃ N-CH ₂ -CH ₂ -	76,4 173— 174°	11 267	1,0692	1,5152	72,13	75,48	C14 H21 NO4	62,92	62,60	7,86	7,72	5,24	5,02	116—117°	153—154°
CH ₃ -CH ₂ N-CH ₂ -CH ₂ -CH ₂ -CH ₃ -CH ₂	73,3 178—179°	11 295	1,0414	1 '5098	81,37	84,81	C ₁₆ H ₂₅ NO ₄	65,09	64,88	8,47	8,25	4,75	4,76	102—103°	101—102°
CH ₃ N-CH ₂ -CH ₂ -CH- CH ₃ CH ₃	80,0 180 - 181°	12 235	1,0372	1,5065	81,37	84,69	C ₁₆ H ₂₅ NO ₄	65,09	65,01	8,47	8,53	4,75	4,81		92-93°
CH ₃ -CH ₂ N-CH ₂ -CH ₂ -CH ₋ CH ₃ -CH ₃ -CH ₃	81,7 190—191°	12 323	1,0160	1,5024	90,61	94,01	C ₁₈ H ₂₉ NO ₄	66,89	66,49	8,98	9,09	4,33	4,67		99—100°

CH ₃ N-CH ₂ -CH-CH- CH ₃ CH ₃ CH ₃	64,5208 – 209°	13 309 1,0448 1,5059	85,99 87,98 C ₁₇ H ₂₇ NO ₄	66,02 65,92 8,73 8,59 4,53 4,84	
CH ₃ CH ₂ N-CH ₂ -CH-CH- CH ₃ CH ₂ CH ₃ CH ₃	70,0217—218	13 337 1,0221 1,5019	95,23 97,42 C ₁₉ H ₃₁ NO ₄	67,65 67,62 9,19 9,30 4,15 4,29	
$\begin{array}{c c} CH_{9} \\ CH_{3} \\ N-CH_{2}-C-CH_{2}-\\ CH_{3} \\ \end{array}$	74,2 201—202°			66,02 65,98 8,73 8,64 4,53 4,56	
CH ₃ CH ₂ N—CH ₂ —C—CH ₂ — CH ₃ CH ₃	71,8212—213°	13 337 1,0212 1,5023	95,23 97,37 C ₁₉ H ₃₁ NO ₄	67,65 67,60 9,19 9,21 4,15 4,08	82° 131°

CH₃OCH₂—CH₂O

X	R ₁	R_2	Выход в
-CH2-CH2-	CH ₃ —	CH ₃ —	98,5
-CH ₂ -CH ₂ -	CH ₃ —	CH ₃ - CH ₂ -	96,1
-CH ₂ -Cn ₂ -	CH ₃ - CH ₂ —	CH ₃ —	97,0
-CH ₂ -CH ₂ -	CH ₃ -CH ₂ -	CH ₃ -CH ₂ -	94,3
-CH-CH ₂ -CH ₂ -CH ₃ -CH ₃	CH ₃ -	CH ₃ —	97,9
-CH-CH ₂ -CH ₃ -CH ₃ -CH ₃	CH ₃ -	CH ₃ —CH ₂ —	95,3
-CH-CH ₂ -CH ₂ -CH ₂ -CH ₃	CH ₈ -CH ₂ -	CH ₃ —	92,4

$$R_{1}$$
 R_{1}
 R_{2}
 R_{3}
 R_{4}
 R_{2}

			Анализ в ⁰ / ₀				
Температура	M	Эмпириче- ская фор- мула	вычислено	найдено			
174 – 175°	409	C ₁₅ H ₂₁ O ₁ NJ	31,05	31,21			
!72—173°	423	C ₀ H ₂₆ O ₄ NJ	30,02	30,18			
107 – 108	437	• C ₁₇ H ₂₈ O ₄ NJ	29,06	29,15			
114—115°	451	C _{1×} H ₃₀ O ₄ NJ	28,15	27,98			
123—124°	437	C ₁₇ H ₂ ,O ₁ NJ	29,06	29,27			
114—115	451	C ₁₈ H ₃₀ O ₄ NJ	28,15	28,33			
82—83°	465	C ₁₀ H ₃₂ O ₄ NJ	27,31	27,38			

140141°	479	C ₂₀ H ₃₄ O ₄ NJ	26,51	26,46
119—120°	451	C ₁₈ H ₃₀ O ₄ NJ	28,15	28,06
82—83°	465	C ₁₉ H ₃₂ O ₄ NJ	27,31	27,19
115 – 116°	479	C ₂₀ H ₃₄ O ₄ NJ	26,51	26,38
137—138°	49 3	C ₂₁ H ₃₆ O ₄ NJ	25,76	25,81

-

Как видно из приведенных формул, описываемая группа эфиров отличается от предыдущей наличием атома кислорода взамен серы.

Такое, на первый взгляд незначительное изменение представит возможность не только выяснить влияние серы на физикохимические и биологические свойства полученных соединений, но и при сравнении данных кислород и серусодержащих однотипных веществ, — специфическую роль серы в фармакологической характеристике препаратов. Наряду с этим данные по изучению свойств кислородсодержащих аналогов позволят составить определенное мнение об этом новом классе соединений.

Строение и некоторые физикохимические константы синтезированных аминоэфиров приведены в табл. 1.

Для изучения биологических свойств приготовлены растворимые в воде соли: иодметилаты, иодэтилаты, хлоргидраты.

В табл. 1 и 2 приведены температуры плавления солей, выделенных в кристаллическом виде.

Подробное описание синтеза, а также результаты исследований о физиологической активности полученных аминоэфиров будут опубликованы отдельно.

Лаборатория фармацевтической химии Академии наук Армянской ССР

Ա. Լ. ՄՆՋՈՅԱՆ, Վ. Գ. ՍՖՐԻԿՅԱՆ ԵՎ Ա. Հ. ԴՈԽԻԿՅԱՆ

Հետագոտություն թ–ալկօքսիբենգոական թթուների ածանցյալների սինթեզի բնագավառում

Հաղուղում VII. p-[-- մերօքսիէրիլ-օքսի] բենզոական թթվի ալկամինոալկիլ էսթեւնեւը և նւանց չոււուդային աղեւը

գուսկան թթուների մի տարը ամինոէսթերներ։

Հախորդ հայարորդման մեջ(۱) խոսելով թալիօրսիթենվուտիան թթուների ամինոէսթերհերի նոր տիպի մասին, մենք ելնելով մետիոնինի կառուդվածքից — նրա մեջ մտնող մեթիլմերկապտո խորինի և կրեստինի սինթեզի ժամանակ տեղի է ունենում երրորդային
ազումների լիակատար մեթիլացում, սինթեղեցինը թ-|--մեթիլմերկապատէթիլ-օրսի) բենգուսկան թթուների մի տարը ամինոէսթերեր։

Ստացված Էսթերներից պատրաստելով դանադան լուծելի աղեր, ձեռնարկեցինք

որանց բիոլոդիական հատկությունների ուսումնասիրություններին։

Նշված հանդամանըը սլատճառ հանդիսացավ սինքերելու համասրատասիան թեկածչմվուններ, որոնք իրենց կառուցվածքով նմանվեին ծծմրի ածանցյալներին։

այլն համեմատելով ծծմրի ու Թիվածնի միօրինակ ածանցյալների բիոլոզիական ուսում-

նասիլություններից ստացված տվյալները, հնարավոր կլինի պարդելու ծծմրի առանձնահատկությունը ֆարմակոլողիական հատկության մեջ։

ԹԹվածնավոր միացությունների ուսումնասիրություններից ստացված տվյալներն առանձին վերցրած Թույլ կտան դաղափար կաղմելու նաև այս նոր տիպի միացությունների թիոլոգիական հատկությունների մասին։

Ստացված p-[3-մեթերըկեթիլ-օրսի ըենդոական թիկի ամինոէսթերների ֆորմուլները և նրանց ընորոշող ֆիդիկո-բիմիական կոնստանտները ըերված են աղյուսակ 1-ում։

Բիոլոզիական հետադոտությունների համար պատրաստված են ստացված ամինոէսթերների իոդմեթիլատները և իոդէթիլատները։

Աղյուսակ 2-ում ըեթված են բյուրեղային վիճակում ստացված աղերի ֆիզիկո-քիմիական հատկությունները բնորոշող մի թանի տվյայներ։

Առանձին միացությունների սինթեղին վերաբերող մանրամասն տեղեկությունները, ինչպես նաև ստրուկտուրայի ու բիոլոգիական հատկությունների միջև եղած կապի վերյուծման տվյալները կհրապարակվեն առանձին։

ЛИТЕРАТУРА-ԳРԱԿԱՆՈՒԹՅՈՒՆ

1 ДАН АрмССР, т. XVIII, № 5, 1954. 2 ДАН АрмССР, т. XVIII, №№ 1, 2.

1954

ФАРМАЦЕВТИЧЕСКАЯ ХИМИЯ

А. Л. Миджоян, действ. чл. АН Армянской ССР, О. Л. Миджоян и Н. А. Бабиян

Исследования в области синтеза производных двухосновных карбоновых кислот

Сообщение VI. Смешанные этил, диалкиламиноэтиловые эфиры некоторых двухосновных карбоновых кислот

(Представлено 15 X 1953)

В одном из предыдущих сообщений (1) нами описаны смешанные: алкил, аралкил, циклогексил, диалкиламиноэтиловые эфиры янтарной кислоты.

Синтез и изучение фармакологических свойств этих соединений проводились с целью выяснения вопроса необходимости наличия двух четвертичных азотов для сохранения курареподобных свойств четвертичных солей диалкиламино-алкиловых эфиров янтарной кислоты, а также для выяснения механизма их действия в связи с гидролизом под действием холиноэстеразы.

Результаты исследований курареподобных свойств четвертичных солей смешанных аминоэфиров янтарной кислоты побудили нас заняться синтезом аналогичных производных других двухосновных карбоновых кислот, со следующей общей формулой:

$$R-O-C-(CH_2)n-C-O-C_nH_{2n}-N$$
 R^1
 R^1
 R^1
 R^1

Ранее было также отмечено, что изменение числа метиленовых групп в кислотных остатках имеет существенное влияние на биологическиесвойства препаратов, часто меняя при этом направление и характер их действия. Так, например, по мере увеличения числа метиленовых групп в бисчетвертичных солях аминоэфиров двухосновных карбоно-вых кислот, курареподобные свойства постепенно убывают, сменяясь возбуждающим действием на дыхательный центр.

Учитывая, что продолжительность и характер действия препаратов этой группы также тесно связаны со скоростью их гидролиза и продуктами, образующимися после гидролиза, нам представилось интересным изучить свойства смешанных аминоэфиров тех двухосновных

			MM	MM			MRD		
R	n	Выход в	Темпе- ратура кипения	Давление в	M	d20	n _D	вычислено	найдено
CH ₃	3	39,2	135 – 137°	2	231,3	1,0322	1,4399	60,246	59,013
C.H.5-	3	71,4	155 – 157°	7	262,0	0,9978	1,435	72,948	68,278
CH ₃	4	60,0	149—151°	3	245,3	1,017	1,434	63,68	64,864
C ₂ H ₅ —	4	50,0	175 – 178°	5	273,4	0,988	1,4398	72,77	74,094
CH ₃ –	5	68,7	145—147°	1	262,0	0,9984	1,4342	69,492	68,229
C ₂ H ₅ —	5	73,1	148—149°	0,5	290,1	0,993	1,437	78,718	77,548
CH ₃ —	6	58,1	143°	0,5	273,4	0,9884	1,4377	74,10	72,461
C _. H ₅ —	6	55,5	170—173°	0,5	304,1	0,9654	1,4367	83,336	82,442
CH ₃ —	7	58,0	154—155°	0,5	287,4	0,983	1,438	76,744	78,718
C ₂ H ₅ —	7	65,0	188 – 190°	0,5	314,5	0,972	1,439	85,349	88,054
CH ₃ —	8	50,0	175—178°	0,5	391,4	0,9671	1,437	81,624	83,336
C ₂ H ₅ —	8	35.0	180 — 184	0,5	329,5	0,9599	1,443	90, 960	92,572

карбоновых кислот, производные которых обладали, подобно лобелину и цититону, возбуждающим действием на дыхательный центр.

В настоящей рабоге описан ряд синтезированных нами этил, диметил-и-диэтиламиноэтиловых эфиров глутаровой, адипиновой пимелиновой, пробковой, азелаиновой и себациновой кислот. Получены их хлоргидраты, оксалаты, иодмегилаты и иодэтилаты.

Физикохимические константы синтезированных соединений приведены в таблице. Данные, касающиеся способов получения этих соединений, и результаты фармакологических испытаний будут опубликованы отдельно.

Лаборатория фармацевтической химии Академии наук Армянской ССР

$$-C-O-CH_{2}-CH_{2}-N$$

R

O

	Aı	нализ в	0/0				Температура плав л ения солей				
Общая		С	H N			aT		1 TE	-		
формула	вычи-	найдено	вычи-	найдено	вычи-	найдено	хлоргидрат	оксалат	нодметилат	тегнледон	
$C_{11}H_{21}O_4N$	57,14	56,88	9,09	8,96	6,06	5,94		95-96°	57-58°		
$C_{13}H_{25}O_4N$	59,54	59,67	9,54	9,59	5,34	5,47	-	54—57°	-	71—73°	
$C_{12}H_{23}O_4N$	59,30	58,94	9,38	9,35	5,71	5,98	88—93°	120—122°	52—54°	60—62°	
C ₁₄ H ₂₇ O ₄ N	61,53	61,56	9,88	9,77	5,12	5,05	59 - 63°	64—67°	-	78—81°	
C ₁₃ H ₂₅ O ₄ N	59,54	59,48	9,54	9,59	5,03	4,71	_	102—103°	45-47°	_	
C ₁₅ H ₂₀ O ₄ N	62,06	61,95	10,00	10,05	4,82	5,14		67 – 70°	_	95—96°	
C ₁₄ H ₂₇ O ₄ N	61,53	61,28	9,89	9,74	5,12	4,93	_	109 – 110°	87—89°	_	
$C_{16}H_{31}C_4N$	63,15	62,69	10,01	9,84	4,60	4,16	-	_	_	85—87°	
C ₁₅ H ₂₉ O ₄ N	62,78	62,65	10,10	9,95	4,98	5,03	-	'07-110°	85-87°	-	
C ₁₇ H ₃₃ O ₄ N	64,94	64,64	10,50	10,10	4,45	4,32	59— 63°	77—80°	-	88-92°	
$C_{17}H_{33}O_4N$ $C_{16}H_{31}O_4N$ $C_{18}H_{35}O_4N$	63,78	64,00	10,29	10,47	4,65	4,90	63 - 67°	69—72°	107 - 110°	52—54°	
C ₁₈ H ₃₅ O ₄ N	65,45	65,72	10,60	10,38	4,24	4,48	74 — 77°	34-88°	54—55°	101—104°	

Ա. L. ՄՆՋՈՅԱՆ, Z. L. ՄՆՋՈՅԱՆ ԵՎ Ն. Ա ԲԱԲԻՅԱՆ

Հետագոտություն երկհիմքրանի կարբոնաթթուների ածանցյալների բնագավառում

Հաղուդում VI. մի քանի եւկնիմքանի կաբբոնաթթուների, էթիլ, դիալկիլամինոէթանոլային խառն էսթեւնեւը

Նախորդ հաղորդումներից մեկում (1) որոշ տվյալներ էին բերված սախախնվի ալկիլ, ցիկլոհեքսիլ, արիլ դիալկիլամինոէնիլ էսներների մասին։ Այդ միացունյունների սիննենըն իրականացված էր կուրարենման հատկունյունների ապահովման գործում երկու չորրորդական ամոնիակային խմրերի անհրաժեշտունյունն ուսումնասիրելու նպատակով։

Միաժամանակ այս միացությունները հնարավորություն տվեցին պարզելու նշված

խառն էսթերների ձիդրոլիցի ընթացքը խոլինէսթերազայի ազդեցության տակ։

Օրդանիզմում, երկնիմ քանի ԹԹուների էսԹերների նետ խոլինեսԹերաղայի ազդեցության տակ կատարվող նիդրոլիզը կարևոր էր մչ միայն նրանց կուրարենման ազդեցության մեխանիզմը ճասկանալու, այլև չնչական կենտրոնները (լորելինի ու ցիտիտոնի նման) գրդոելու ճատկությունն ուսումնասիրելու տեսակետից։

Այս կապակցությամբ անհրաժեշտ էր սինթեզել և ուսումնասիրել երկհիմ քանի թթուներից գլաւտարաթթվի, ադիպինաթթվի, պիմելինաթթվի, խցանաթթվի, աղելաինաթթվի և սերացինաԹԹվի խառն էսԹերներ, որոնց կառուցվածքը կարելի է արտահայտել հիժնական տեքստում արդեն ցույց տրված ընդհանուր ֆորմուլայով։

Տվյալ հաղորդման մեջ բերված են հակիրձ տեղեկություններ այն խառն էսթերների մասին, որոնց սինթեղի ժամանակ իրրև ամինոսպիրտներ օդտաղործված են եղել դիմեթիլ և դիէթիյամինոէթիլ այկոհոյները։

Ստացված են նաև որոշ էսԹերների մի քանի կրիստալական աղերը։ Ստասված միացությունների ֆիզիկո-բիմիական հատկությունները ընորոշող մի քանի տվյալները բերված են աղյուսակում։

Նկարադրված միացությունների ստացմանը վերաբերող մանրամասն ավյալները, ինչպես նաև նրանց րիոլոդիական հատկությունների ուսումնասիրության արդյունքները կհրապարակվեն առանձին։

ЛИТЕРАТУРА— ԳՐԱԿԱՆՈՒԹՅՈՒՆ

¹ ДАН АрмССР, т. XVIII, № 2, 45 (1954).

